

This is a digital copy of a book that was preserved for generations on library shelves before it was carefully scanned by Google as part of a project to make the world's books discoverable online.

It has survived long enough for the copyright to expire and the book to enter the public domain. A public domain book is one that was never subject to copyright or whose legal copyright term has expired. Whether a book is in the public domain may vary country to country. Public domain books are our gateways to the past, representing a wealth of history, culture and knowledge that's often difficult to discover.

Marks, notations and other marginalia present in the original volume will appear in this file - a reminder of this book's long journey from the publisher to a library and finally to you.

Usage guidelines

Google is proud to partner with libraries to digitize public domain materials and make them widely accessible. Public domain books belong to the public and we are merely their custodians. Nevertheless, this work is expensive, so in order to keep providing this resource, we have taken steps to prevent abuse by commercial parties, including placing technical restrictions on automated querying.

We also ask that you:

- + *Make non-commercial use of the files* We designed Google Book Search for use by individuals, and we request that you use these files for personal, non-commercial purposes.
- + Refrain from automated querying Do not send automated queries of any sort to Google's system: If you are conducting research on machine translation, optical character recognition or other areas where access to a large amount of text is helpful, please contact us. We encourage the use of public domain materials for these purposes and may be able to help.
- + *Maintain attribution* The Google "watermark" you see on each file is essential for informing people about this project and helping them find additional materials through Google Book Search. Please do not remove it.
- + *Keep it legal* Whatever your use, remember that you are responsible for ensuring that what you are doing is legal. Do not assume that just because we believe a book is in the public domain for users in the United States, that the work is also in the public domain for users in other countries. Whether a book is still in copyright varies from country to country, and we can't offer guidance on whether any specific use of any specific book is allowed. Please do not assume that a book's appearance in Google Book Search means it can be used in any manner anywhere in the world. Copyright infringement liability can be quite severe.

About Google Book Search

Google's mission is to organize the world's information and to make it universally accessible and useful. Google Book Search helps readers discover the world's books while helping authors and publishers reach new audiences. You can search through the full text of this book on the web at http://books.google.com/



Über dieses Buch

Dies ist ein digitales Exemplar eines Buches, das seit Generationen in den Regalen der Bibliotheken aufbewahrt wurde, bevor es von Google im Rahmen eines Projekts, mit dem die Bücher dieser Welt online verfügbar gemacht werden sollen, sorgfältig gescannt wurde.

Das Buch hat das Urheberrecht überdauert und kann nun öffentlich zugänglich gemacht werden. Ein öffentlich zugängliches Buch ist ein Buch, das niemals Urheberrechten unterlag oder bei dem die Schutzfrist des Urheberrechts abgelaufen ist. Ob ein Buch öffentlich zugänglich ist, kann von Land zu Land unterschiedlich sein. Öffentlich zugängliche Bücher sind unser Tor zur Vergangenheit und stellen ein geschichtliches, kulturelles und wissenschaftliches Vermögen dar, das häufig nur schwierig zu entdecken ist.

Gebrauchsspuren, Anmerkungen und andere Randbemerkungen, die im Originalband enthalten sind, finden sich auch in dieser Datei – eine Erinnerung an die lange Reise, die das Buch vom Verleger zu einer Bibliothek und weiter zu Ihnen hinter sich gebracht hat.

Nutzungsrichtlinien

Google ist stolz, mit Bibliotheken in partnerschaftlicher Zusammenarbeit öffentlich zugängliches Material zu digitalisieren und einer breiten Masse zugänglich zu machen. Öffentlich zugängliche Bücher gehören der Öffentlichkeit, und wir sind nur ihre Hüter. Nichtsdestotrotz ist diese Arbeit kostspielig. Um diese Ressource weiterhin zur Verfügung stellen zu können, haben wir Schritte unternommen, um den Missbrauch durch kommerzielle Parteien zu verhindern. Dazu gehören technische Einschränkungen für automatisierte Abfragen.

Wir bitten Sie um Einhaltung folgender Richtlinien:

- + *Nutzung der Dateien zu nichtkommerziellen Zwecken* Wir haben Google Buchsuche für Endanwender konzipiert und möchten, dass Sie diese Dateien nur für persönliche, nichtkommerzielle Zwecke verwenden.
- + *Keine automatisierten Abfragen* Senden Sie keine automatisierten Abfragen irgendwelcher Art an das Google-System. Wenn Sie Recherchen über maschinelle Übersetzung, optische Zeichenerkennung oder andere Bereiche durchführen, in denen der Zugang zu Text in großen Mengen nützlich ist, wenden Sie sich bitte an uns. Wir fördern die Nutzung des öffentlich zugänglichen Materials für diese Zwecke und können Ihnen unter Umständen helfen.
- + Beibehaltung von Google-Markenelementen Das "Wasserzeichen" von Google, das Sie in jeder Datei finden, ist wichtig zur Information über dieses Projekt und hilft den Anwendern weiteres Material über Google Buchsuche zu finden. Bitte entfernen Sie das Wasserzeichen nicht.
- + Bewegen Sie sich innerhalb der Legalität Unabhängig von Ihrem Verwendungszweck müssen Sie sich Ihrer Verantwortung bewusst sein, sicherzustellen, dass Ihre Nutzung legal ist. Gehen Sie nicht davon aus, dass ein Buch, das nach unserem Dafürhalten für Nutzer in den USA öffentlich zugänglich ist, auch für Nutzer in anderen Ländern öffentlich zugänglich ist. Ob ein Buch noch dem Urheberrecht unterliegt, ist von Land zu Land verschieden. Wir können keine Beratung leisten, ob eine bestimmte Nutzung eines bestimmten Buches gesetzlich zulässig ist. Gehen Sie nicht davon aus, dass das Erscheinen eines Buchs in Google Buchsuche bedeutet, dass es in jeder Form und überall auf der Welt verwendet werden kann. Eine Urheberrechtsverletzung kann schwerwiegende Folgen haben.

Über Google Buchsuche

Das Ziel von Google besteht darin, die weltweiten Informationen zu organisieren und allgemein nutzbar und zugänglich zu machen. Google Buchsuche hilft Lesern dabei, die Bücher dieser Welt zu entdecken, und unterstützt Autoren und Verleger dabei, neue Zielgruppen zu erreichen. Den gesamten Buchtext können Sie im Internet unter http://books.google.com/durchsuchen.



LIBRARY

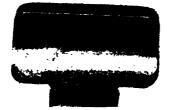
OF THE

University of California.

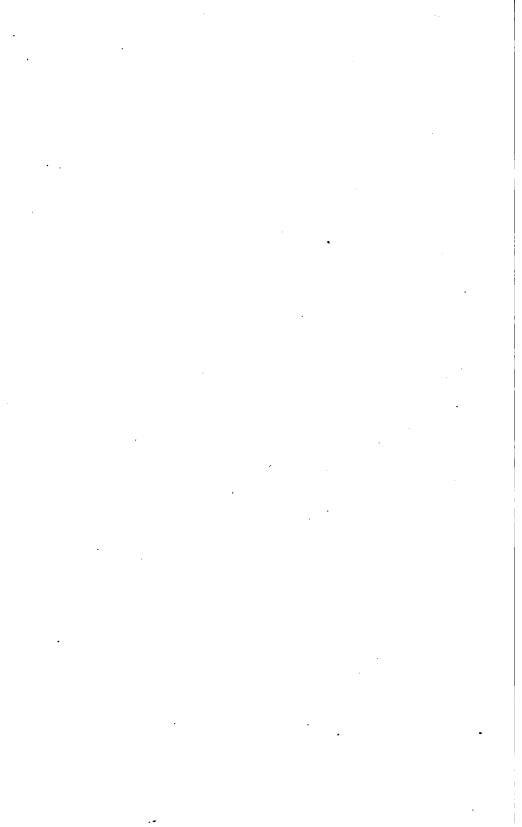
GIFT OF

yena Unir

Class



.



• · · · · · ·



Die

Dispersion Jenaer Gläser

im

ultravioletten Strahlengebiet.

Inaugural-Dissertation

der

philosophischen Fakultät zu Jena

zur

Erlangung der Doktorwürde

vorgelegt von

Hermann Trommsdorff.



JENA

Druck von Bernhard Vopelius 1901.

GC 4-31

Genehmigt von der philosophischen Fakultät der Universität Jena auf Antrag des Herrn Professor Dr. Winkelmann.

JENA, den 19. Dezember 1900.

Professor Dr. Hirzel d. Z. Dekan.

9

Piae memoriae

patris dilectissimi.

Durch die Entwickelung der photographischen Technik hat die Kenntnis des ultravioletten Strahlengebietes an praktischem Interesse gewonnen. Auch vom theoretischen Standpunkte aus ist es wünschenswert, Material zu sammeln, um die Dispersionstheorie zu prüfen, wenngleich ohne die Dispersion des Ultrarot die vollständige Verifizierung der Theorie nicht möglich ist. Für Krystalle oder Gläser mit einfacher chemischer Zusammensetzung könnte auf diesem Wege der Zusammenhang zwischen optischem Verhalten und chemischer Zusammensetzung vielleicht ermittelt werden. Schon jetzt gründet sich auf die Abhängigkeit optischer Eigenschaften von der chemischen Zusammensetzung die Technik der optischen Glasschmelzen. Allerdings sind diese Kenntnisse erst empirisch und einer Erklärung unzugänglich.

Die Messungen von Rubens¹) und Simon²) geben für eine Reihe Substanzen die Dispersion vom Ultrarot bis ins Ultraviolett. Die Resultate enthalten geeignetes Material zur Prüfung der Dispersionstheorie. Weitere Messungen von Simon²) geben die Dispersion im Ultraviolett für Substanzen, welche für praktische optische Zwecke interessant und wichtig sind. Eine Vermehrung dieser Untersuchungen an weiteren optischen Glasschmelzen erschien für praktische Forderungen wünschenswert.

In der vorliegenden [Arbeit sind auf Veranlassung der Firma Zeiss an weiteren 13 Gläsern der Jenaer Glashütte und an der Schmelze des amorphen Quarzes diese Messungen ausgeführt.

¹⁾ Rubens. Wied. Ann. 45, p. 238 u. 46, p. 540.

²⁾ Simon. Über Dispersion ultravioletter Strahlen. Inaug.-Diss. Berlin 1894.

An dieser Stelle sei es mir gestattet, den Firmen C. Zeiss und Schott & Genossen meinen aufrichtigen Dank auszusprechen für die bereitwillige Überlassung des Prismenmateriales und das grosse Entgegenkommen, welches mir bei allen auf meine Arbeit bezüglichen Wünsche erzeigt wurde.

Die Messungen erstrecken sich von $H_{\alpha}(C)=656,3~\mu\mu$ durch das ganze sichtbare Spektrum bis an die für die einzelnen Gläser im Ultraviolett eintretende Grenze der Absorption.

Den Untersuchungen sind die Erfahrungen von Simon zu Grunde gelegt.

Zur Übersicht der Darstellung gebe ich folgende Disposition:

§ 1. Methode.

- 1. Messung des sichtbaren und ultravioletten Spektrums.
- 2. Vorzüge der Methode.
- 3. Photographie.
- 4. Spektrallinien.

§ 2. Apparat.

- 1. Abbesches Spektrometer.
- 2. Kollimator.
 - a) Spaltkopf.
 - b) Objektiv.
 - c) Kondensor.
 - d) Mikrometer Einstellung mit Teilung.
- 3. Photographischer Apparat.
 - a) Apparat mit Objektiv und Einstellung.
 - b) Kassette.
 - c) Marke vor der Fluorescenzscheibe und photographischen Platte.
 - d) Photographische Platte.
 - e) Entwickler.
- 4. Lichtquelle.
- § 3. Gang des Versuches.
 - 1. Messung des Prismenwinkels.
 - 2. Messung des sichtbaren Spektrums
 - a) durch Autokollimation,
 - b) durch senkrechte Incidenz.

- 3. Einführung des Kollimators.
- 4. Einführung des photogr. Apparates und die Aufnahme.
- 5. Mängel am Apparat.
- 6. Einfluss der Lichtquelle.
- 7. Ausmessung der Platte.
- § 4. Umrechnung der auf der Platte gemessenen Abstände in Bögen.
 - 1. Verwendung der Formel tg a = a/l.
 - 2. Methoden zur Bestimmung von /
 - a) mit o-Marke und 2 bekannten Spektrallinien;
 - b) durch 2 gegen die o-Marke verschobene Aufnahmen;
 - c) ohne o-Marke durch 2 Aufnahmen in derselben Höhe der Platte.
 - 3. Mathematische Begründung der letzten, allgemeinsten Methode (c).
 - 4. Werte von /
 - a) mit o-Marke bestimmt;
 - b) ohne dieselbe bestimmt.
 - c) Tabelle von l für bestimmtes a und a.
 - d) Anmerkung zur Tabelle.
 - e) Übereinstimmung der Werte.
 - 5. Diskussion der Werte a.
 - a) a = a', für kleines ψ .
 - b) Tabelle der a, bei verschiedenem ψ .
 - c) Tabelle der entsprechenden Abweichungen.
- § 5. I. Anschluss der objektiv gemessenen Linien an die subjektiv gemessenen Linien durch Differenzenvergleichung
 - 2. Tabelle der Abweichung der Differenzen.
- § 6. Verzeichnis der gemessenen Gläser.
- § 7. Tabellen (1—4) der gemessenen Brechungsexponenten und der Abweichungen der Werte des Quarzes von Simon und Sarasin gegen die des Verfassers.
- § 8. Dispersionsbestimmung.
 - 1. Wahl der Konstanten.
 - 2. a) Dispersionsverlauf der Gläser (I, II).
 - b) Dispersionsverlaut des Quarzes (III).
- § 9. 1. Die Grenze der Absorption.
 - 2. Tabelle der erreichten kleinsten Wellenlängen.
- § 10. Zusammenfassung der Resultate.

§ 1. Die Methode.

Messung des sichtbaren und ultravioletten Spektrums.

Die Messungen wurden auf Grund folgender Methode ausgeführt. Das sichtbare Spektrum wurde nach der Abbeschen Methode des in sich zurückkehrenden Strahles gemessen, und zwar die einzelnen Spektrallinien durch Differenzenmessung. Der ultraviolette Teil des Spektrums wurde mit Hilfe des Kollimators nach der Methode der senkrechten Incidenz photographiert. Die Entfernung der Spektrallinien wurde auf der Platte mit dem Komparator gemessen und in die entsprechenden Bögen umgerechnet durch die einfache Beziehung

$$tg a = \frac{a}{1}$$

wo a die Entfernung der Spektrallinie vom Fusspunkte des senkrecht auf die Platte einfallenden Strahles und l die Brennweite der Fernrohrlinse ist. Dann entsprechen die umgerechneten Bögen den direkt gemessenen vollständig und können durch Differenzenvergleichung an die Linien des sichtbaren Spektrums angeschlossen werden.

Beide Methoden stimmen völlig mit einander überein. Nur ist bei dem in sich zurückkehrenden Strahle der Kollimator gewissermassen mit in das Fernrohr hineingelegt. Bei der Methode der senkrechten Incidenz fällt der Strahl durch den Kollimator senkrecht auf die Rückseite des Prismas auf und erleidet an der Austrittsfläche eine Brechung. Bei der Methode des in sich zurückkehrenden Strahles lässt man die Strahlen so eintreten, dass sie nach dem Durchgang durch das Prisma senkrecht auf die Rückfläche auffallen und von dort reflektiert werden. Dann fallen sie mit den eintretenden Strahlen der Richtung und Lage nach zusammen. Der nicht reflektierte Teil der Strahlen, der auf der Rückfläche normal austritt, kann auch zur Messung der Ablenkung benutzt

werden. Diese Methode rührt von Meyerstein her; sie hat aber gegenüber der Methode des in sich zurückkehrenden Strahles kein praktisches Interesse. Beide Methoden, die der senkrechten Incidenz und die von Abbe, sind bis auf die Lage des Kollimators identisch. Sie gestatten den Brechungsexponenten n sehr einfach zu berechnen durch

$$n=\frac{\sin i}{\sin \varphi},$$

wo φ der brechende Winkel ist und i der Winkel, den der austretende Strahl mit der Normalen der Austrittsfläche bildet.

Vorzüge der Methode.

Der Vorzug dieser Methode ist ein vielfacher. Sie steht in naher Beziehung zu der Fraunhoferschen Methode des Minimum der Ablenkung, indem man bei sonst gleichem Strahlengange das Prisma durch eine den Prismenwinkel halbierende Ebene zerlegt denkt. Dementsprechend gewährt sie die Vorzüge der Methode der minimalen Ablenkung, Genauigkeit der Messung und Einfachheit der Rechnung. Überlegen ist sie derselben durch die Einfachheit und Sicherheit der Einstellungen. Der wichtigste Vorzug aber ist der, dass diese Methode gestattet, durch die sehr genau ausführbaren Differenzmessungen die Dispersion für das ganze Spektrum zu ermitteln.

Photographie.

Für die Messungen des ultravioletten Strahlengebietes wurde, wie gesagt, die Photographie benutzt. Die Überlegenheit der photographischen Methode ist durch die moderne Spektralforschung in einer so evidenten Weise erwiesen, dass ihre Wahl keiner weiteren Begründung bedarf. Dennoch habe ich versucht, auch die Fluorescenzmethode zu verwerten, da bei Gläsern mit früher Absorptionsgrenze nur wenig Linien

zur Bestimmung der Dispersion nötig sind, die durch Fluorescenz relativ einfacher zu bestimmen wären. Für Quarz habe ich auf diesem Wege immerhin befriedigende Werte erhalten. Bei recht guter Beleuchtung war das ganze Spektrum bis $Al_{33} = 186,1 \mu\mu$ wohl messbar. Trotzdem lässt sich für Gläser die Fluorescenzmethode nicht verwenden. Bei keinem der von mir untersuchten Gläser habe ich auf der Fluorescenzscheibe ultraviolette Linien zu sehen bekommen, auch wenn ich das sichtbare Spektrum ganz aus dem Gesichtsfelde herausdrehte, um die Blendung durch dasselbe zu vermeiden. geraten infolge ihrer relativ frühen Absorptionsgrenze selbst stark in Fluorescenz, so dass das ganze Gesichtsfeld des Fernrohrs von Fluorescenzlicht ziemlich hell erleuchtet ist. Besonders stark war die Eigenfluorescenz der Gläser vom Typus O 203, O 463 und O 722. Dieselben erschienen im Ultraviolett milchig-blau getrübt. Wegen der Eigenfluorescenz der Gläser ist bei ihnen die Verwendung der Fluorescenzmethode ausgeschlossen.

Spektrallinien.

Zur Bestimmung der Dispersion habe ich in erster Linie die von Mascart nummerierten Kadmiumlinien benutzt, da dieselben zur Orientierung recht günstig und daher vielfach in die Litteratur übergegangen sind. Zur Ergänzung werden zuweilen Zink- und Aluminiumlinien hinzugezogen. Im sichtbaren Spektrum wurden regelmässig die C- und D-Linie gemessen. Die Wellenlänge-Angaben habe ich, da ausschliesslich Funkenspektra zur Verwendung kamen, Eder und Valenta^{1, 4}) und bei Zink und Aluminium Exner und Haschek²) entnommen, die D-Linie und Wasserstofflinien Kayser und Runge³).

¹⁾ Eder und Valenta. Über das Spektrum des Kalinm, Natrium und Kadmium. Wien 1894.

²) Exner und Haschek. Über die ultravioletten Funkenspektra der Elemente. Wien 1897.

³⁾ Kayser und Runge. Über die Spektra der Elemente. Berlin 1890 u. f.

⁴⁾ Eder und Valenta. Normalspektren im äussersten Ultraviolett. Wien 1899.



§ 2. Beschreibung des Apparates.

Abbesches Spektrometer.

Die Messungen wurden mit einem Abbeschen Spektrometer aus der Werkstätte von C. Zeiss ausgeführt, das in folgender Weise eigens für diese Messungen abgeändert war 1):

Kollimator.

Der Verschlusskopf des Kollimators ist durch einen Spaltkopf ersetzt, der ausser der gewöhnlichen Vorrichtung zur Erweiterung oder Verengung eine Verlängerung und Verkürzung symmetrisch zur Mitte des Spaltes gestattet, so dass die Höhe des Spaltbildes beliebig verändert werden kann. Zudem ist eine Vorrichtung angebracht, die ermöglicht, das Kollimatorrohr selbst als Fernrohr zu verwenden. Durch einen Hebelarm vor dem Spalt lässt sich ein kleiner Spiegel vorschlagen, der den Spalt genau bis zur Mitte verdeckt und zur Autokollimation dient. Nachdem eine Lupe an den Verschlusskopf geschraubt ist, beobachtet man nach der Methode des in sich zurückkehrenden Strahles und kann so alle Justierungen und Einstellungen mit dem Kollimatorrohr selbst vornehmen. Wird der Kollimator zu seinem ursprünglichen Zwecke verwendet, so entfernt man die Lupe und schlägt den Spiegel zurück.

Das Objektiv des Kollimator ist durch das Quarz-Flussspat-System ersetzt, das in der Werkstätte von Zeiss für die gleichen Messungen von Simon berechnet und angefertigt war. Die Beschreibung der Objektive giebt Simon in seiner Arbeit²). Herr Simon besass die Freundlichkeit, die Objektive für diese Messungen zu leihen; ich spreche ihm hierfür aufrichtigen Dank aus.

Nach einer Reihe von Versuchen erwies es sich als notwendig, den Kollimator noch mit einem Kondensor zu versehen, damit die Regulierung der Beleuchtung erleichtert und

¹⁾ Diese Änderung ist nach den Angaben und unter Leitung von Herrn Dr. Pulfrich ausgeführt worden.

²) Simon. Über Dispersion ultravioletter Strahlen. Inaug.-Diss. Berlin 1894. p. 16 u. 17.

die Höhe des Spaltes stets ganz mit Licht ausgefüllt werden konnte. Auch war zu befürchten, dass der Spalt auf die Dauer unter der Nähe des elektrischen Funkens leiden würde, da stets von den Elektroden kleine Teilchen abgeschleudert wurden, die in der Entfernung des Spaltes noch gut wahrnehmbar waren. So wurde eine plankonvexe Quarzlinse mit einer Brennweite von 2,5 cm in einem Rohr so vor den Spalt des Kollimators angeschraubt, dass durch eine zwei- bis dreimalige Vergrösserung des Funkens der Spalt ganz ausgefüllt werden konnte.

Die Einstellung des Spaltes geschieht durch eine mit Millimeter-Teilung versehene Mikrometerschraube.

Photographischer Apparat.

An Stelle des Fernrohres wird nach Vollendung der Einstellung der photographische Apparat gebracht. Der Apparat besteht aus einem Messingrohre, das genau wie das Fernrohr in dem gabelförmigen Träger des Spektrometers befestigt wird. Die Einstellung des Quarz-Flussspat-Systemes geschieht durch eine gleiche Vorrichtung, wie die des Spaltes beim Kollimator.

Die Kassette läuft in einer metallischen Führung durch Mikrometerbetrieb. Sie ist ebenfalls ganz aus Metall. Über dem eigentlichen Lager der Platte befindet sich eine Scheibe aus Uranglas, welche der Grösse der hinteren Rohröffnung $(4.2 \times 1.0 \text{ cm})$ entspricht. Die Fluorescenzscheibe ist in ihrer Länge in zwei Teile geteilt, von denen der obere glatt geschliffen, der untere matt geätzt ist. Es zeigte sich, dass die Verwendung einer Mattscheibe nicht zweckdienlich ist. Spektrum ist nur auf dem geschliffenen Teile der Scheibe messbar, auf dem matten Teile sind die Linien diffus verbreitert. Die erst verhältnismässig starke Fluorescenzscheibe wurde bis auf wenige Millimeter abgeschliffen, da sich die durch Fluorescenz sichtbar werdenden ultravioletten Linien infolge der Dicke der Scheibe keilförmig verbreiterten. ihrer Vorderseite ist die geschliffene Scheibe von 5 mm zu 5 mm mit einer Teilung versehen. Vor der Scheibe befindet sich an einem doppelt beweglichen Arme eine Lupe, mit deren Hilfe das Spektrum sehr gut auf Lage und Einstellung geprüft werden kann.

Das Kassettenlager ist für die Plattengrösse $4,2 \times 4,2$ cm eingerichtet. Die Platte wird wie gewöhnlich von hinten in die Kassette gelegt und durch eine federnde Rückwand gegen den vorderen Rahmen gedrückt.

An der Kassette längs der Lage der Platte befindet sich eine Millimeterteilung und entsprechend an der Führung der Kassette in der Höhe der rechteckigen Öffnung der Camera eine Marke, so dass die jeweilige Lage der Platte vor der Camera-Öffnung genau abzulesen ist. Die Teilung ist sehr nützlich. Mit ihrer Hilfe kann man die Zahl der Aufnahmen auf einer Platte beliebig variieren. So habe ich je nach der Höhe der Spaltöffnung am Kollimator 7 bis 18 Aufnahmen in gleichen Abständen auf die Platte bringen können.

Um einen Mittelstrahl in der Ebene der empfindlichen Schicht und der Fluorescenzscheibe auszuzeichnen, war dicht vor der Lage der Platte und der Scheibe ein dünner Platinfaden ausgespannt, so dass die Lage einer Spektrallinie auf der Scheibe gegen den Faden leicht zu orientieren war, was für die Photographie in gleicher Weise giltig blieb. Leider wurde der Faden bald durch eine zu kleine Platte gesprengt. Von einer Erneuerung wurde aus später zu erläuternden Gründen abgesehen.

Als Platten wurden zunächst Schleusner-Platten verwendet, welche sich wegen ihrer sauberen Ausführung sehr empfehlen. Dieselben sind auf dünnem Spiegelglas hergestellt und in der Regel recht gut beschnitten. Für die Messungen habe ich die Berolina-Kupferdruckplatte 4¹) benutzt. Dieselbe soll nach den Erfahrungen und Angaben von Herrn Schumann in Leipzig hergestellt sein. Äusserlich kann dieselbe nicht mit der Schleusner-Platte konkurrieren. Aber für den Zweck der Photographie des Ultravioletten ist sie sehr empfehlenswert. Schon nach einer Belichtung von 5 Minuten giebt sie die

¹⁾ Von der Firma J. Gebhard, Berlin NW., Schumannstrasse 14.

Aluminiumlinie $32 = 186,1~\mu\mu$ recht deutlich wieder. Allerdings nimmt die Intensität der Linien auch bei einer Belichtung von 30 Minuten kaum merklich zu. Leider kommen diese Vorzüge für die Dispersionsbestimmung von Gläsern nicht in Betracht, da nur wenige Licht unter 300 $\mu\mu$ durchlassen.

Die Entwicklung der Platten geschah durchgehend mit Rodinal. Zum Fixieren wurde unterschwefligsaures Natron benutzt.

Als Lichtquelle wurde das Funkenspektrum benutzt. Zur Erzeugung des Funkenlichtes wurde ein Induktorium nach Ruhmkorff verwendet, dessen Primärspule mit einer Akkumulatorenbatterie von 12 Volt beschickt wurde. In den sekundären Stromkreis war ein Kondensator von etwa 500 cm² äusserem Belag eingeschaltet. Der Einfluss von grösseren oder kleineren Kondensatoren ist nicht erheblich verschieden. Als Elektroden benutzte ich Kadmium allein oder mit Zink oder Aluminium kombiniert. Auf die Reinheit des Elektrodenmaterials brauchte kein besonderer Wert gelegt werden, da nur Hauptlinien zur Messung kommen sollten. Als Elektroden eignen sich Drähte von 1,5 mm Durchmesser, die oben zu einer Schneide angefeilt werden, um das Herumtanzen des Funkens zu verhindern.

§ 3. Gang des Versuches.

Messung des Prismenwinkels.

Der Gang des Versuches war immer der folgende: Nach der gewöhnlichen Justierung von Fernrohr und Prisma wurde der Prismenwinkel bestimmt. Durch Repetitionsmessungen wurden Ablesungsfehler und etwaige Ungenauigkeiten der Teilung möglichst eliminiert, so dass die Abweichungen auf jeden Fall 10 Sekunden nicht überschreiten.

Messung des sichtbaren Spektrums.

Hierauf wurden ebenfalls durch Autokollimation die Linien des sichtbaren Spektrums gemessen. Durch häufige Wiederholung der Messungen ist der Wert der Ablenkung

der einzelnen Linien bis auf die Ablesungsgenauigkeit sicher gestellt. Die Messungen wurden stets an verschiedenen Stellen des Teilkreises wiederholt. Gemessen wurden stets die Kadmiumlinien 1-7, die D-Linie und die Wasserstofflinie C. Das lästige dreimalige Auswechseln der Beleuchtungsvorrichtung vermied ich später, indem ich die Kadmiumelektroden mit ein wenig Natriumsalzlösung befeuchtete. Hierbei leuchtete stets nicht nur die D-Linie, sondern auch die C-Linie hell auf. Identifizierung der mit der Wasserstoffröhre gemessenen C-Linie bestätigte mir dies. Da meine Messungen der Wasserstofflinien mit denen von Herrn Dr. Riedel genügend übereinstimmten, so adoptierte ich für die Dispersionstabellen seine Werte und verzichtete auf eine nochmalige Messung der Wasserstofflinien F und G. Ein Versuch, die Wasserstofflinien zu erzeugen, indem durch den Kippschen Apparat ein Wasserstoffstrom zwischen die Elektroden geführt wurde, scheiterte, da der Wasserstoff sich entzündete und die Elektroden abschmolz.

Zuweilen habe ich die Messungen auch mit dem Kollimator nach der Methode der senkrechten Incidenz vorgenommen. Wie zu erwarten, war die Übereinstimmung der Differenzen zwischen den Spektrallinien sehr genau. Wurde gleichzeitig ein Spektrum durch Autokollimation erzeugt, so musste natürlich das durch Autokollimation erzeugte Spektrum wegen der doppelten Weglänge des Strahles doppelt so lang sein, als das durch senkrechte Incidenz erzeugte. Trotzdem hätten die entsprechenden Spektrallinien gleichzeitig mit dem Faden im Fernrohre zur Deckung kommen müssen. Es ergab sich, dass die entsprechenden Linien der Spektra gegen einander verschoben waren. Die Einstellung des Kollimators auf senkrechte Incidenz war vermöge der Autokollimationsvorrichtung desselben völlig sicher, da das reflektierte Spaltbild senkrecht unter dem spiegelnden Spalt liegt. Beim Fernrohr aber zeigte sich, dass für ganz engen Spalt der Faden und Spalt einen Winkel von 28'55" bildeten. Für breiteren Spalt nimmt der Winkel ab. Dementsprechend waren entsprechende Linien um den halben Winkel von Faden und Spalt gegen einander verschoben Bei der im Fernrohr zur Messung der Spektrallinien benutzten Spaltweite betrug die Verschiebung 13'58".

Einführung des Kollimators.

Nach Beendigung der subjektiven Messung der Spektrallinien wurde die Justierung noch einmal geprüft und der Kollimator auf senkrechte Incidenz eingestellt. Die Einstellungsgenauigkeit war, wie erwähnt, sehr gross. Der Einfluss kleiner Abweichungen von der senkrechten Stellung war sehr gering, Bei Abweichungen bis zu einer Minute nach beiden Seiten habe ich auf den Photographieen keine messbaren Veränderungen gefunden. Jedenfalls bleiben die Abweichungen innerhalb der Ablesungssicherheit.

Einführung des photographischen Apparates und die Aufnahme.

Nach Justierung des Kollimators wurde das Fernrohr beseitigt und an seine Stelle der photographische Apparat justiert. Um möglichst auch die Teile des sichtbaren Spektrums scharf zu bekommen, habe ich mit entsprechender Verschiebung des Kollimatorspaltes succesive von Cd_5 bis an die letzten violetten Linien scharfe Einstellungen erzielt.

Mängel am Apparat.

Leider war das Rohr des photographischen Apparates nicht lang genug, um die volle Brennweite zu benutzen. Sim on hat den Wert für das Objektiv zu 246,1 mm¹) ermittelt. Der Apparat gestattet nur einen Auszug bis auf 244 mm. Bei diesem Auszug ist es mir nicht gelungen, das ganze Spektrum für den korrigierten Teil 360 bis 180 $\mu\mu$ scharf einzustellen. Die beste Scharfeinstellung habe ich für den Auszug 235,6 mm bekommen. Dieser Wert ist nicht nur durch $l=\frac{a}{tra}$ (siehe unten) gefunden, sondern auch durch

⁻⁻⁻⁻⁻⁻

¹⁾ Simon. Inaug.-Diss. p. 29.

direkte Ausmessung des Apparates. Da von den untersuchten Gläsern fast keines unter 300 $\mu\mu$ durchlässig ist, kommt für dieselben der Korrektionsbereich 360—180 $\mu\mu$, den das Quarz-Flussspat-System hat, nur zum kleinen Teil in Betracht. Für amorphen und krystallinischen Quarz habe ich drei Gruppen von Aufnahmen gemacht, indem ich den Spalt des Kollimators von Gruppe zu Gruppe von 1,5—2 mm verschob. Eine Änderung in der Entfernung der Linien habe ich nicht finden können. Hierdurch erhielt ich für den Bereich des ganzen Spektrums genügend scharfe Bilder. Die auf diese Weise von mir beim krystallinischen Quarze gemessenen Werte stimmen mit denen von Simon und Sarasin sehr gut überein 1), so dass ich kein Bedenken trug, den Apparat in der vorliegenden Form zu benutzen.

Einfluss der Lichtquelle.

Der Einfluss der Lichtquelle auf das Gelingen der Aufnahme ist sehr gross. Eine kleine Verschiebung nach rechts oder links ruft auf der entsprechenden Seite der Linien Lichthöfe oder Lichtschatten hervor, die bei der Ausmessung störend wirken können. Auch scheint die richtige Stellung der Lichtquelle wichtig für die Belichtungsdauer zu sein. Beim Quarz war bei einer Belichtung von einer Sekunde das Maximum der Intensität bei den Linien $Cd_{17}=274,87 \mu\mu$ und $Cd_{18} = 257,31 \mu\mu$, bei den Gläsern dagegen in der Regel bei $Cd_9 = 361,19 \mu\mu$ und $Cd_{10} = 346,72 \mu\mu$. Zu einer gut messbaren Aufnahme genügten 20 Sekunden Belichtung. Um zugleich ein Bild von der Wirksamkeit der Strahlen zu bekommen, variierte ich die Belichtungsdauer in folgenden 7 Intervallen: 1; 4; 10; 30 Sec. 1; 5; 30 Min. Auf diese Weise erhielt ich eine gute Charakteristik der wirksamsten Strahlen bis zur Absorptionsgrenze. Bei Vermehrung der Belichtungsdauer nehmen die übrigen Linien rasch an Intensität zu. Bei einer Belichtungsdauer von 5 Minuten war das Spektrum ein schwarzes Band. Nach dem sichtbaren Teile des Spektrums

¹⁾ Siehe Tabelle meiner Brechungsexponenten p. 30.

kamen allmählich die Linien Cd_4 , Cd_3 und Cd_2 hinzu. Diese Grenze wurde auch bei einer Belichtung von 30 Minuten nicht überschritten. Im Ultravioletten wuchs die Anzahl der Linien bis zur Belichtungsdauer von 5 Minuten nur sehr langsam an. Nach $Cd_{11}=340,37~\mu\mu$ fand ein ungemein rascher Abfall statt. Bei einer Vermehrung der Belichtung auf 30 Minuten trat keine neue Linie hinzu; nur wurden die bei 5 Minuten gewonnenen intensiver.

Die Ausmessung der auf diese Weise gewonnenen letzten Linien wurden sehr erschwert, weil inzwischen das übrige Spektrum gleichmässig schwarz wurde. Gegen diese Schwärzung, die sich vom sichtbaren Spektrum aus vorschiebt, versuchte ich ein Strahlenfilter einzuschalten. Dünne Silberspiegel absorbieren das sichtbare Spektrum bis zum Beginn des Ultraviolett. Die ultravioletten Linien gehen frei hindurch 1) Dementsprechend wurden Quarzplatten mit Silberspiegeln von verschiedener Stärke übersilbert und als Strahlenfilter eingeschaltet. Für Gläser scheint diese Massnahme sehr brauchbar, da bei dickeren Silberschichten (durchscheinend für Bogenlicht) nur Strahlen des Bereiches 380-310 µµ etwa durchgehen. Auffallend war, dass bei Quarzprismen Strahlen nicht über diese Grenze hinaus durchgingen, wie man hätte erwarten können. Wahrscheinlich war die Silberschicht nicht frei von Verunreinigungen. Denn die Silberspiegel wurden nach einiger Zeit gelblich und immer weniger durchlässig. Die mit frischen Silberspiegeln gewonnenen Aufnahmen geben Bilder mit klaren, sauberen Linien. Ich habe diese Versuche erst beim Abschluss meiner Messungen begonnen und daher nicht weiter für die vorliegende Arbeit verwendet.

Ausmessen der Platten.

Bei jedem Prisma habe ich wenigstens 15 Aufnahmen gemacht, die soweit wie möglich alle zur Messung verwendet wurden. Die Ausmessung der Platten geschah auf einem

¹) Eder und Valenta. Absorptionsspektra der farblosen und gefärbten Gläser. Wien 1894.

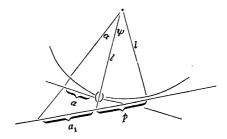
Komparator aus der Werkstätte von C. Zeiss. Die Einstellungsgenauigkeit beträgt 0,001 mm. Diese Genauigkeit kommt für die Ausmessung der Linien nicht zur Verwendung. Die Einstellung der Linien einer Aufnahme zeigt als durchschnittliche Abweichung 0,005 mm. Bei einer Gruppe von Aufnahmen beträgt der Fehler im Mittel 0,01 mm, kann aber bei unscharfen Linien als Maximalwert 0,02 mm erreichen, was einer Einstellungsgenauigkeit von etwa 15 Sekunden entspricht. Jedoch wird der Einfluss einer so grossen Abweichung durch eine genügende Vermehrung der Messungen eliminiert.

§ 4. Umrechnung der auf der Platte gemessenen Abstände in Bögen.

Die Umrechnung der auf der Platte gemessenen Abstände der Spektrallinien in Bögen geschieht durch die Beziehung:

$$tga = \frac{a}{l}$$

wo l die Brennweite des Objektivs, a die Entfernung der Spektrallinie vom Fusspunkt des Berührungsradius und a der Winkel ist, um den die Spektrallinie gedreht werden muss, damit sie mit dem Fusspunkt von l zusammenfalle.



1. Berechnung von l mit o-Marke und einer Aufnahme.

Ist der o-Punkt bekannt, in dem die Axe des Objektivsystems senkrecht auf der Platte steht, so ist die Bestimmung von l sehr einfach. Man bestimmt den Ablenkungswinkel zweier Spektrallinien des sichtbaren Spektrums und bringt die



eine von ihnen in die Nullmarke, so dass die Differenz ihrer Ablenkungswinkel gleich a wird. Photographiert man in dieser Stellung, so ist der Abstand der beiden Spektrallinien auf der Platte gleich a, und l ist somit zu berechnen. Die zur Einstellung des Ultraviolett nötige Verschiebung des Objektives wird an der Mikrometer-Vorrichtung des Apparates abgelesen und zu l hinzugefügt.

2. Berechnung von l mit o-Marke und zwei Aufnahmen.

Ebenso kann man l bestimmen, wenn die Ablenkungswinkel der Spektrallinien nicht bekannt sind oder dieselben nur in die Nähe der o-Marke gebracht werden können, indem man zwei gegen die o-Marke um einen kleinen Winkel ψ gedrehte Aufnahmen herstellt. Dann lässt sich l annähernd berechnen durch den Winkel ψ , um den die beiden Aufnahmen gegeneinander gedreht sind, und durch die Summe der Entfernung derselben Spektrallinie von der o-Marke bei beiden Aufnahmen.

3. Berechnung von lohne o-Marke.

Bei dieser Bestimmung ist die o-Marke nur ein Übergangsglied zwischen den beiden Aufnahmen, ohne in die Rechnung mit einzugreifen. Daher kann man, zumal die optische Axe des Systems, welche die o-Marke auszeichnet, nur eine Abstraktion ist, die o-Marke ganz entbehren. Man photographiert auf derselben Platte zwei durch Drehung um einen kleinen Winkel ψ gegeneinander verschobene Spektra. Der Abstand derselben Spektrallinie in den beiden Aufnahmen und ψ gestatten l zu berechnen.

Dass man in der That von einer o-Marke in erster Annäherung unabhängig ist, zeigt eine einfache Überlegung. Mögen die beiden Aufnahmen gegeneinander um den Winkel ψ (siehe Fig. 1) gedreht sein, so erscheint die Entfernung a zweier Spektrallinien, von denen die eine mit der o-Marke zur Deckung gebracht ist, auf der zweiten Aufnahme in a_1 abgebildet.

Dann besteht zwischen a und a_1 folgende Beziehung:

$$a = l tg a$$

$$p = l tg \psi$$

$$a_1 = l tg (\psi + a) - p$$

$$= l \left(\frac{tg \psi + tg a}{1 - tg a tg \psi} - tg \psi \right)$$

$$= l tg a \frac{1 + tg^2 \psi}{1 - tg a \cdot tg \psi}$$

$$= l tg a \frac{\cos a}{\cos (a + \psi) \cos \psi}$$

$$a_1 = a \frac{\cos a}{\cos (a + \psi) \cos \psi}$$
(1)

oder für $\lim \psi = 0$ $a_1 = a$. Diese Beziehung gilt in erster Annäherung für kleine ψ .

Geometrisch wird dies Verhältnis noch anschaulicher. Vermöge

$$tg\,\psi=\frac{p}{l}$$

 $tg \ a = \frac{a}{l}$

geht (1) über in

$$a_1 = a \cdot \frac{1 + \frac{p^2}{l^2}}{1 - \frac{a \cdot p}{l^2}}$$
 (2)

l ist gegenüber p gross (l = 235,6 mm p < 1,0 mm), so dass für kleines p und kleines a in erster Annäherung gilt:

$$a = a_1$$

Für wechselndes a, d. h. für Spektrallinien, die weit von der eigentlichen o-Marke liegen, tritt eine Vergrösserung von a_1 ein, wenn dieselben nicht von der o-Marke aus gemessen werden. Die zweite Form bringt die Beziehung klarer zum Ausdruck. Da $a=a_1$ für kleine Winkel, so kann also direkt chne o-Marke l berechnet werden. Auch die Berechnung von a bleibt ungeändert.

Der Wert von 1.

Das Ergebnis der Messung von l ist mit Hilfe einer Ausgangsmarke l=234,9.

Die Genauigkeit des Wertes hängt in hohem Grade von der Grösse von a ab. Ein Fehler von 10 Sekunden bei kleinem a fällt sehr schwer ins Gewicht. a ist mit dem Komparator sehr genau gemessen.

Für die Photographien von den Gläsern habe ich die Objektivstellung durchgehend um 0.5 mm vergrössert, dementsprechend die ohne o-Marke gemessenen Werte von l. Es zeigte sich, dass selbst bei grösserem a die Formel noch für den Genauigkeitsbereich der Messungen ausreicht.

Im folgenden gebe ich eine Tabelle der Werte für l bei verschiedenem a und a:

μ +	μ —	60	a	а	ı	+		g	a	а	ı
5	4	6	0,341	5'	234,5	6	7	10	6,177	1030'	235,9
4	2	7	1,780	26'	235,9	8		14	6,176	10304	235,8
4 3 4 2	5	6	0,683	10'	234,8	28		52	8,217	20	235,5
4	4	6	1,326	19' 20"	235,9	8	8	9	8,224	20	235,3
2	6	6	1,338	19'30"	236,0	I 2		9	8,245	20 0'30"	235,1
4	4	6	2,426	35' 12"	236,6	18	ΙI	20	8,273	20 0'50"	235,3
3	5	10	2,750	40'	236,3	10	ΙI	10	9,557	20 19' 50"	234,8
3	2	12	3,585	52' 25"	235,7	11	16	20	10,330	2031'	235,6
4	6	9	3,585	52' 28"	234,9	14	13	54	12,360	30	235,8
4 8	7	9	4,109	10	235,6		19	62	12,352	3°	235,7
3			4,112	10	235,4	2 I		30	12,441	30 1'10"	235,9
5	11	12	4,123	10	236,2	28	15	52	12,401	3° 1'	235,4
10	9	I 2	5,482	I 0 20'	235,5	28	15	198	24,753	60	235,5

Mittel von 564 Messungen:

l=235,6 mm; + 1,0 mm; - 1,1 mm; z Anzahl der Messungen; $\pm \mu$ grösste Abweichung vom Mittel in Tausendstel Millimeter.

Die Kolumne $\pm \mu$ giebt die Abweichung des grössten und kleinsten Wertes vom Mittel der auf dem Komparator gemessenen Entfernung a der entsprechenden Spektrallinien. Die Kolumne z giebt die Anzahl der zur Messung verwerteten Linienpaare. Als ich die Übereinstimmung fand, habe ich

zugleich zur gegenseitigen Kontrolle bei der Bestimmung der a die Messungen der l häufig mit durchgeführt, wodurch die hohe Anzahl der Messungen (z) erreicht wurde.

Die Winkel a wurden vor und nach der Aufnahme abgelesen. Der Wert bei der Drehung a=5' zeigt die Unsicherheit der Messung bei kleinem Winkel a.

Die Werte stimmen unter einander recht gut. Die grössten Abweichungen vom Mittel sind \pm 1 mm. Der Wert l=235,6 mm kann als sicher gelten. Kleine Ungenauigkeiten von l würden bei der Umrechnung der Linien kaum ins Gewicht fallen, vermöge $lg \alpha = \frac{a}{l}$. a erreicht für die Gläser im Durchschnitt nicht 10 mm, während l=235,6 mm beträgt.

Tabelle der a_1 bei verschiedenem ψ .

ψ =	= 3°	2 0 30'	2 ⁰	00	— 3 °
Cd_{5} Cd_{6} Cd_{7} Cd_{8} Cd_{9} Cd_{10} Cd_{11} Cd_{12}	0,000	0,000	0,000	0,000	0,000
	0,275	0,275	0,286	0,277	0,280
	0,960	0,959	0,964	0,962	0,959
	2,383	2,382	2,388	2,387	2,385
	4,226	4,223	4,229	4,223	4,226
	4,673	4,665	4,671	4,666	4,667
	5,117	5,108	5,115	5,107	5,110
	5,544	5,542	5,544	5,539	5,536
	6,648	6,637	6,632	6,628	6,623
	6,734	6,718	6,723	6,715	6,710

Tabelle der entsprechenden Abweichung.

Cd_{5} Cd_{6} Cd_{7} Cd_{8} Cd_{9} Cd_{10} Cd_{11} Cd_{12}	0 - 2 - 2 - 4 + 3 + 7 + 10 + 5 + 20 + 19	0 - 2 - 3 - 5 0 - 1 + 1 + 3 + 9 + 3	0 + 9 + 2 + 1 + 6 + 5 + 8 + 5 + 4 + 8	0 0 0 0 0 0 0 0 0	0 + 3 - 3 - 2 + 3 + 1 + 3 - 3 - 5 - 5
Mittlere Abweich.	$+5,6\mu$	+0,5 μ	$+4,8\mu$	0,0 μ	-0,8 μ

Auch die Verbreiterung, die der Abstand der Spektrallinien bei grösseren Verschiebungen gegen die o-Marke erfährt, kommt für die benutzten Grössenverhältnisse nicht in Betracht. Vorstehend gebe ich eine Tabelle der mittleren Entfernung der Spektrallinien bei Drehung um grössere Winkel. Als o-Marke ist Cd_5 benutzt. Die Werte sind die Mittel der Versuchsreihen bei der Schmelze 2371.

Die Abweichungen bei der Verschiebung um bestimmte grössere Winkel bleiben innerhalb der Fehlergrenze, wenngleich Abweichungen von 20 μ als Maximalabweichungen zu bezeichnen sind. Für die eigentlichen Messungen sind daher die Spektra möglichst so photographiert worden, dass die als Ausgangslinie benutzte Linie Cd_5 nahezu in der Mitte der Platte lag.

§ 5. Anschluss der objektiv gemessenen Linien an die subjektiv gemessenen Linien.

Der Anschluss der objektiv gemessenen Linien an die subjektiv gemessenen geschieht durch Differenzenvergleichung. Die folgende Tabelle giebt eine Übersicht der Abweichungen für die einzelnen Intervalle $Cd_3 - Cd_2$, $Cd_4 - Cd_3$, Cd_4^* $- Cd_4$, Cd_5 $- Cd_4^*$, Cd_6 $- Cd_5$, Cd_7 $- Cd_6$, H_7 $- Cd_7$, Cd_7 $- Cd_2$ und Cd_6-Cd_4 . Den drei ersten Intervallen kann ich nur halbes Gewicht erteilen, da die Linien 2, 3 und 4 subjektiv zwar recht gut, aber auf der Platte sehr schwer, oft nur schätzungsweise zu messen waren. Ich habe daher die objektiv gemessenen Werte dieser Intervalle unberücksichtigt gelassen. Umgekehrt ist das Gewicht der objektiv gemessenen Linien 6 und 7 höher zu veranschlagen, als das des subjektiv gemessenen Wertes, da die Einstellung der violetten Linien mir stets Mühe machte, während ihre Ausmessung auf der Platte keine Schwierigkeit bereitete. Trotzdem liegen die Abweichungen der einzelnen Intervalle innerhalb der Fehlergrenzen.

Tabelle der Abweichung der Differenzen.

			-	i		i Table	1	Ī			1	1	1
No.	Typus	C	ď	(Cd	Cd	Cd	Ca	ł	Cđ	Cđ	Cd	Cđ
110.	Typus	3-	2	4-	—3	4*-4	5-4*	6	-5	7—6	<i>Η</i> γ—7	7—2	6—4
ı.	2748		o"	+	ı "		- ı "	+	4"	– 3"	i	+ 7"	+ 3"
2.	2752	-	3"	+	3"		— 2 "	+	3"	+ 1"		+ 2"	+ 1"
3.	2242	-	15"	+	10"	- 4"	о"	+	I "	+ 5"	<u> </u>	- 3"	- 3"
4.	2133	-	-	-	_		-8"	-	ı "	+ 8"	_	— т"	– 9"
5.	2371	+	4"	+	2"		+3"	+	ı "	+ 10"	_	+ 20"	+ 4"
6.	2634	-	3"		o"		— 1"	_	4"	— 3"		– 11 "	- 5"
7.	2392	+	4"	+	10"	-	+ 1"	+	6"	— 7"	_	+ 14"	+ 7"
8.	2150	-	<u>-</u>	-	_	о"	+ 1"	+	9"	+ 13"	о"		+ 10"
9.	2800	_	3"	_	4"	_	+3"	ı	5"	+ 1"	_	+ 2"	+ 8"
10.	1828	_	7"	+	4"	<u>-</u> 3"	- 2"	+	7"	— з "		- 4"	+ 2"
IJ.	2546	_	I "	+	2"	_	о"	<u> </u>	4"	— 7"		- 10"	- 4"
I 2.	2512	_	-	+	ı "		о"		o"	+ ı"		+ 2"	о"
13.	665	-	10"	+	19"	- 2"	+4"	+	4"	+ 2"		+ 17"	+ 6"
14.	Quarz- kryst.	_	_	_	_	_	-7"	+	7"	+ 1"	_	+ ı"	o"
15.	Quarz- amorph.	+	6"		4"	+5"	-4"	+ 1	2"	+ 1"	_	+ 16"	+ 14"
	littlere bweich.	-2	",5	+3	3",7	-o",8	-o ", 9	+3'	' ,3	+1",3	_	+3",7	+2",3

§ 6. Verzeichnis der gemessenen Gläser.

Zu der im folgenden gegebenen Tabelle der Brechungsexponenten seien hier nach dem Typus der Schmelzen des Jenaer Glas-Kataloges die von mir gemessenen Gläser aufgezählt.

1.	2748 = 0144	Boro-Silicat-Crown.
2.	2752 = 02388	Fernrohr-Crown.
3.	2242	Fernrohr-Crown.
4.	2133 = 02122	Schwerst. Baryt-Crown.
5.	2371 = 0227	Barium Silicat-Crown.
6	2634 = 0203	Gewöhnlich. Silicat-Crown
7.	2392 = 0463	Baryt-Leichtflint.
8.	2150 = 0722	Baryt-Leichtflint.
9.	2800 = 0 2001	Fernrohr-Flint.
10.	$1828 = O_{453}$	Baryt-Leichtflint.
II.	665 =	Zinkborat ¹). Versuchsschmelze, nicht in den Listen geführt, zeichnet sich durch extreme mechanische, thermische u. elastische Eigenschaft aus.
I 2.	2546 = 0748	Baryt-Flint.
13.	2512 = 0103	Gewöhnl. Silicat.
14.	Quarz, kryst.	
15.	Quarz, amorph.	(Schmelze von Dr. Herschkewitsch.)

§ 7. Tabelle der gemessenen Brechungsexponenten.

Das experimentelle Resultat der Messungen ist in den folgenden 4 Tabellen zusammengefasst. In der ersten Tabelle sind in vier Kolumnen die Bezeichnung der Linien, der Ablenkungswinkel i, der Brechungsexponent n und die Wellenlänge λ angegeben. In den drei folgenden Tabellen ist der Ablenkungswinkel i nicht weiter angegeben. Dieselben enthalten in den beiden ersten Kolumnen die Bezeichnung der Linien und die entsprechenden Wellenlängen. In den folgenden Kolumnen sind die Brechungsexponenten der Gläser nebeneinander gestellt. Hierdurch wird die Übersichtlichkeit wesentlich erhöht.

Die drei ersten Tabellen enthalten die Brechungsexponenten der Gläser. Die Häufung der Messungen im sichtbaren Teile des Spektrums geschah des Differenzanschlusses wegen.

¹⁾ Hovestadt. Jenaer Glas. Jena 1900, p. 201.

Zur Bestimmung der Absorptionsgrenze sind bei den Gläsern nach $Cd_{12}=328,36~\mu\mu$ eine grössere Anzahl von schwächeren Linien gemessen worden, deren Identifizierung nicht mit Sicherheit gegeben werden kann. Dieselben sind in den Tabellen durch eine Marke abgesondert.

In der vierten Tabelle sind die Brechungsquotienten des amorphen und krystallinischen Quarzes angegeben. Ausserdem sind in zwei weiteren Kolumnen die entsprechenden Werte von Simon und Sarasin für krystallinischen Quarz zum Vergleich beigefügt. Die beiden letzten Kolumnen enthalten die Abweichungen der Werte von Simon und Sarasin gegen die meinigen in Einheiten der 5. Dezimale.

I. 2748 — Boro-Silicat-Crown O 144.

	$\varphi = 34^{\circ} 52' 10''$	n	λ
			
H_{a}	59° 36′ 33"	1, 50883	656,30 μμ
Cd_1	37' 59"	1,50917	643,93
D	45' 58"	1,51124	589,03
Cd_2	55' 19"	1,51362	537,93
Cd_3	590 56' 21"	1,51386	533,86
Cd_{A}	. 60° 2' 7"	1,51534	508,61
$F = H_{\beta}$	8' 13"	1,51690	486,10
Cd_5	9' 54"	1,51732	480,01
Cd_6	13' 42"	1,51828	467,84
Cd_7	23' 0"	1,52066	441,59
$G'=H_{\gamma}$	25' 48"	1,52136	434,00
Cd_8	600 42' 15"	1,52546	398,84
Cd_{9}	610 6' 55"	1,53156	361,19
Cd_{10}	18' 45"	1,53445	346,71
Cd_{11}	24' 28"	1,53586	340,37
Cd_{12}	40' 47"	1,53982	328,36
	48' 35"	1,54168	322,13
	49' 57"	1,54204	320,99
	610 51' 31"	1,54238	320,18
	620 0' 3"	1,54443	316,16
	1' 29"	1,54475	315,71
Cd_{18}	3' 59"	1,54536	313,33
Cd_{14}	620 16' 41"	1,54839	308,32
14	ļ "-	,0,0,	1 3 70

II.

Tabelle der gemessenen Brechungsexponenten für Gläser.

		2.	3.	4.	5.	6.	7.
	zeichnung	2242	2752	2133	2371	2634	2392
	Gläser und riknummer	Fernrohr- Crown	Fernrohr- Crown	Schwerst. BarCrown	Barium SilCrown	Gew. SilCrown	Baryt- Leichtflint
Pad	nknummer	Olown	O 2388	0 2122	0 227	O 203	0 463
arphi (der brechende Winkel)		33° 26′ 28″	33°59′ 17"	30° 22' 7"	33° 39′ 52″	33° 2' 56"	32022'36"
H_{a}	656,30 μμ	1,50486	1,52441	1,58848	1,53755	1,51436	1,55771
Cd_1	643,93	1,50525	1,52490	1,58896	1,53797	1,51482	1,55821
D	589,03	1,50734	1,52704	1,59144	1,54025	1,51693	1,56075
Cd_2	537,93	1,50976	1,52961	1,59433	1,54297	1,51957	1,56375
Cd_8	533,86	1,51004	1,52989	1,59463	1,54321	1,51982	1,56407
Cd_4	508,61	1,51154	1,53146	1,59644	1,54489	1,52143	1,56596
H_{β}	486,10		1,53303	1,59825	_	_	
Cd_5	480,01	1,51362	1,53362	1,59878	1,54714	1,52361	1,56844
Cd_6	467,84	1,51461	1,53464	1,59996	1,54825	1,52466	1,56968
Cd_7	441,59	1,51704	1,53721	1,60285	1,55093	1,52725	1,57268
H_{γ}	434,00	1,51775	1,53790	1,60367	_	—	_
Cd_8	398,84	1,52210	1,54245	1,60870	1,55646	1,53261	1,57896
Cd_9	361,19	1,52852	1,54911	1,61622	1,56354	1,53943	1,58704
Cd_9^*	353,58	1,53010	1,55071	1,61800	1,56525	1,54111	_
Cd_{10}	346,71	1,53157	1,55225	1,61978	1,56689	1,54272	1,59093
Cd_{11}	340,37	1,53307	1,55379	1,62148	1,56852	1,54432	1,59279
	334,55	1,53490	1,55564	1,62356	1,57046	_	1,59452
Cd_{12}	328,36	1,53721	1,55804	1,62622	1,57296	1,54879	1,59796
	326,42	1,53811					_
	323,64	1,53896	1,56004	_		-	1,60033
	322,13	1,53932	1,56086		1,57511	_	1,60081
	320,18	1,53982	1,56175		1,57593	1,55089	_
	318,54	1,54079	1,56193		1,57830	1,55175	1,60263
	315,71		_			1,55414	1,60475
Cd_{13}	313,33		1,56343	_	1,57870	1,55450	
Cd_{14}	308,32		1,56661	_	1,58293	1,55875	
	306,50	_	1,56714				

III. Tabelle der gemessenen Brechungsexponenten für Gläser.

		8.	9.	10.	11.	12.	13.
	eichnung	2150	2800	1828	665	2546	2512
	Gläser und riknummer	Baryt- Leichtflint	Fernrohr- Flint	Baryt- Leichtflint	Zinkborat	Baryt-Flint	Gew. Silic,-Flint
Patrikinininei		0 722	O 2001	0 453		0 748	0 103
φ (der brechende Winkel)		320 251 2011	34° 4′ 5″	31015'51"	24°51′53"	29° 56′ 12"	29°53′22″
H_a	656,30 μμ	1,57568	1,51932	1,56014	1,65326	1,62285	1,61574
Cd_1	643,93	1,57619	1,51979	1,56068	1,65435	1,62356	1,61656
D	589,03	1,57893	1,52231	1,56343	1,65762	1,62750	1,62073
Cd_2	537,93	1,58211	1,52536	1,56671	1,66146	1,63226	1,62578
Cd_3	533,86	1,58244	1,52568	1,56689	1,66185	1,63274	1,62630
Cd_4	508,61	1,58444	1,52754	1,56914	1,66423	1,63577	1,62952
H_{β}	486,10	1,58646	1,52954	1,57148	1,66670		
Cd_5	480,01	1,58715	1,53007	1,57193	1,66742	1,63992	1,63396
Cd_6	467,84	1,58848	1,53129	1,57333	1,66904	1,64196	1,63615
Cd_7	441,59	1,59174	1,53436	1,57667	1,67292	1,64704	1,64162
H_{γ}	434,00	1,59268	1,53521	1,57764	1,67436	_	1,64319
Cd_8	398,84	1,59852	1,54075	1,58375	1,68104	1,65792	1,65333
Cd_9	361,19	1,60726	1,54897	1,59300	1,69146	1,67269	1,66933
Cd_9^*	353,58	1,60937		1,59526	1,69400		1,67346
Cd_{10}	346,71	1,61148	1,55300	1,59754	1,69648	1,68018	1.67753
Cd_{11}	340,37	1,61356	1,55504	1,59978	1,69892	1,68390	1,68160
İ	334,55	1,61559	1,55746	1,60248	1,70135	1,68838	1,68685
Cd_{12}	328,36	1,61922	1,56043	1,60593	1,70408	1,69454	1,69265
	326,42	1,62069	1,56157	1,60748	1,70562		1.69356
	323,64	1,62159	_	1,60900	<u> </u>	_	_
	322,13		1,56311	1,61015	_	_	
	320,18	1,62256		1,61189		_	
	318,54	1,62311	1,56518			_	_
	315,71	1,62462	1,56675		_	-	_
Cd_{13}	313,33	1,62678	_			_	_
Cd_{14}	308,32	-		_	-		· —
	306,50	_	_		-	_	_

IV.
Die Brechungsexponenten für amorphen und krystallinischen Quarz.

Bezeichnung der Linien und die zugehörigen Wellen-		Quarz amorph.	Quarz (kryst.) ord.		Strahl	Abweichungen der Werte von Simon u. Sarasin gegen die des Verfassers in	
1	ängen λ	•	Verfasser	Simon	Sarasin	Einheit 5. Dec	en der imale.
H_a	655,30 μμ	1,45640		_	_		
Cd_1	643,93	1,45673	1,54224		1,54224	—	О
D	589,03	1,45843		-		l	
Cd_2	537,93	1,46047	1,54650		1,54655	l	+ 5
Cd_{3}	533,86	1,46067	1,54679	_	1,54675	 	- 4
Cd_4	508,61	1,46190	1,54821		1,54825	_	+ 4
Cd_5	480,01	1,46357	1,55014	_	1,55014		0
Cd_{6}	467,84	1,46433	1,55100		1,55104	l —	+ 4
Cd_7	441,59	1,46630	1,55318	_	1,55318		0
H_{γ}	434,00	1,46690					
Cd_8	398,84	1,47028	1,55791	-		-	 —
Al	396,165	1,47069		-		-	
Al	394,415	1,47086				-	
Cd_9	361,19	1,47503	1,56346	1,56348	1,56355	+ 2	+ 9
Cd_9^*	353,58	1,47645		_		l —	
Cd_{10}	346,71	1,47766	1,56621	1,56617	1,56635	∥− 4	+ 14
Cd_{11}	340,37	1,47877	1,56739	1,56744	1,56744		+ 5
Cd_{12}	328,36	1,48183	1,57082	1,57094	1,57100	+ 12	+ 18
Cd_{15}	298,08	1,48859	1,57864	_		-	
Cd_{17}	274,87	1,49634	1,58756		1,58750	—	– 6
Cd_{18}	257,31	1,50397	1,59626	1,59624	1,59630	<u> </u>	+ +
Zn	255,80	1,50472	_			-	
Zn	250,20	1,50762		_	_	<u> </u>	
Cd	232,94	1,51834	!	_		 	
Cd_{22}	232,12	1,51890	1,61319	_		l .—	
Cd_{28}	231,30	1,51954	1,61400	1,61402	1,61410	+ 2	+ 10
Cd_{24}	226,51	1,52318	1,61819		1,61816		- 3
Cd_{25}	219,47	1,52911	1,62504	1,62502	1,62500	II .	- 4
Cd_{26}	214,45	1,53386	1,63042	1,63040	1,63050	<u> </u>	+ 8
Zn_{27}	210,01	1,53857				_	
Zn_{28}	206,21	1,54269	_		_	_	
Zn_{29}	202,55	1,54729		_		-	
Al_{30}	198,99	1,55204		_		_	
$Al_{31} Al_{32}$	193,53	1,56071	_		_	_	
$A l_{32}$	186,22	1,57268	_			-	_
	185,41	1,57464					
arphi (der V	brechende Vinkel)	35° 26′ 46"	29° 55' 2"				

§ 8. Dispersionsbestimmung.

Von einer Verifizierung der Dispersionstheorie habe ich Abstand genommen, da die Prüfung derselben ohne die Dispersion im Ultraroten, wie gesagt, nur den Wert einer Interpolationsrechnung hat. Um aber die im Obigen gegebenen Brechungsexponenten in eine übersichtliche, für Vergleiche geeignete Form zu bringen, habe ich die von Abbe1) angegebene Charakteristik der optischen Gläser auf das ultraviolette Gebiet zu erweitern gesucht.

Im Jenaer Glasverzeichnis²) werden folgende optische Konstanten der Gläser angegeben:

 $n_D = D$, der Brechungsindex für die gelbe Natriumlinie.

 $C-F^3$) = Δ , mittlere Dispersion = Differenz der Brechungsexponenten der Wasserstofflinien H_{α} und H_{β} .

$$\frac{D-1}{A} = \nu$$
, relative reciproce Dispersion.

$$\begin{array}{ccc} C-D &= & \delta_1 \\ D-F &= & \delta_2 \\ F-G' &= & \delta_3 \end{array} \right\} \ \ \text{partielle Dispersion}.$$

$$\frac{\delta_3}{\Delta} = \gamma$$

Diese Konstanten erfordern die Kenntnis von fünf Brechungsexponenten. Sie geben eine vollständige Übersicht der Brechung und Dispersion im sichtbaren Teile des Spektrums und gewähren durch grosse Übersichtlichkeit einen erheblichen Vorzug vor der blossen Aufzählung bestimmter Brechungsexponenten.

Für die Wahl dieser Linien ist massgebend gewesen: erstens, die gleichmässige Verteilung derselben im Spektrum,

¹⁾ Hovestadt. Jenaer Glas. p. 26.

²⁾ Jenaer Glasverzeichnis.

³⁾ C-F lies C bis F und ebenso in allen folgenden partiellen Dispersionen.

zweitens, der Umstand, dass dieselben stets leicht zu erzeugen sind. Durch viele Tausende von Messungen haben dieselben eine Bedeutung gewonnen, die bei keiner derartigen Veröffentlichung übersehen werden darf. Um Dispersionswerte in eine vergleichbare Form zu bringen, muss man sich daher dieser Konstanten bedienen.

Für den ultravioletten Teil des Spektrums habe ich entsprechende Intervalle aufgestellt. Ich habe dazu charakteristische Kadmium-Linien nach der Bezeichnung von Mascart gewählt. Da die Messungen meist auf photographischem Wege gewonnen werden, empfiehlt es sich möglichst Linien eines Elementes zu wählen. Das Kadmium ist seines Linien-Reichtums wegen dazu recht empfehlenswert, zumal auch viele massgebende Messungen im Ultraviolett mit Kadmium-Linien ausgeführt sind. Die Fraunhoferschen Bezeichnungen sollte man für Ultraviolett nicht verwenden. Dieselben sind zwar für das Absorptionsspektrum der Sonne charakteristisch, haben aber für spektrometrische Messungen mit künstlicher Beleuchtung stets grosse Unbequemlichkeit.

Auch für den sichtbaren Teil des Spektrums wäre es willkommen, wenn die verwendeten Linien möglichst einer Lichtquelle entstammten.

Im sichtbaren Spektrum habe ich ausser den üblichen Intervallen neben δ_3 ein Intervall δ'_3 mit Cd_7 anstatt H_7 eingeführt. Mir erschien dies wegen des Anschlusses an das Ultraviolett recht günstig, da ich Cd_7 stets recht gut photographisch messen konnte, während ich in der subjektiven Messung violetter Linien, also H_7 insbesondere, nicht die gleiche Sicherheit hatte. Dementsprechend habe ich für den ganzen Dispersionsverlauf zu den für das sichtbare Spektrum üblichen Konstanten für das Ultraviolett die partiellen Dispersionen folgender Intervalle hinzugefügt: H_{β} — Cd_7 = δ'_3 ; H_7 — Cd_8 = δ_4 ; Cd_7 — Cd_8 = δ'_4 ; Cd_8 — Cd_9 = δ_5 ; Cd_9 — Cd_{11} = δ_6 ; Cd_{11} — Cd_{12} = δ_7 ; Cd_{12} — Cd_{17} = δ_8 ; Cd_{17} — Cd_{24} = δ_9 ; Cd_{24} — Al_{32} = δ_{10} . Ebenso sind die relativen partiellen Dispersionen $\frac{\delta_1}{A}$ = p_1 ; $\frac{\delta_2}{A}$ = p_2 u. s. w. gebildet.

Eine in anderer Weise übersichtliche und für Vergleiche geeignete Darstellung des Dispersionsverlaufes habe ich graphisch in einer am Schluss befindlichen Tafel gegeben. In derselben sind die Differenzen der Brechungsexponenten nach beiden Seiten von Cd_5 aus eingetragen. Die gegenseitige Grösse der Brechungsexponenten der verschiedenen Gläser kommt nicht zum Ausdruck.

Die Tafel giebt ein Bild aller partiellen Dispersionen der von mir untersuchten Gläser und des amorphen und krystallinischen Quarzes.

In einer besonderen Tabelle gebe ich die entsprechenden Konstanten für den Quarz. Um einen Vergleich des krystallinischen mit dem amorphen Quarz zu gewinnen, habe ich die Sarasin- und Mascartschen Werte für den ausserordentlichen Strahl und als mittleren Brechungsexponenten für krystallinischen Quarz das Mittel aus ordentlichem und ausserordentlichem Strahl eingetragen.

Es folgen die Tabellen: Die beiden ersten Tabellen umfassen die 13 Gläser, die dritte Tabelle den Dispersionsverlauf vom Quarz.

Zur Diskussion der Werte sei bemerkt, dass entsprechend den Erfahrungen, die man von dem Dispersionsverlauf im sichtbaren Spektrum hat, bei Gläsern mit hohen Brechungsexponenten die Dispersion erheblich stärker wächst als bei Gläsern mit geringen Brechungsexponenten. Eine allgemeine Beziehung jedoch lässt sich nicht aufstellen für die Verhältnisse der einzelnen Teile des Spektrums zu einander. Die Tafel gestattet einen direkten Vergleich entsprechender Spektralgebiete.

Auffallend für den Quarz ist, dass die amorphe Modifikation nicht nur einen erheblich niedrigeren Brechungsexponenten hat als der krystallinische Quarz, sondern auch im Dispersionsverlauf wesentlich von demselben abweicht.

Es bleibt abzuwarten, ob alle Schmelzen amorphen Quarzes dasselbe Verhalten zeigen.

I. Dispersionsverlauf der Gläser.

Fabriknummer	2748 Boro- SilCr.	2242 ¹) FernrCr.	2752 FernrCr.	2133 Schw. BarCr.	2371 ²) Bar SilCr.	2634 ²) Gew. SilCr.	2392 ²) Bar Leicht-Fl.
D	1,51124	1,50734	1,52704	1,59144	1,54025	1,51693	1,56075
$\Delta = C - F$	0,00807	0,00823	0,00862	0,00977	0,00910	0,00877	0,01011
$v = \frac{n-1}{\Delta}$	63,35	61,63	61,14	60,54	59,37	58,94	55,47
$\delta_1 = C - D$	0,00241	0,00248	0,00263	0,00296	0,00270	0,00257	0,00304
$p_1 = \frac{\delta_1}{\Delta}$	0,299	0,301	0,305	0,303	0,297	0,293	0,301
$\delta_2 = D - F$	0,00566	0,00575	0,00599	0,00681	0.00640	0,00620	0,00707
p_2	0,701	0,699	0,695	0,697	0,703	0,707	0,699
$\delta_3 = F - G'$	0,00446	0,00466	0,00487	0,00542	0,00515		
Þ 8	0,553	0,566	0,565	0,555	0,566		
$\delta_3' = F - Cd_7$	0,00376	0,00395	0,00418	0,00460	0,00428	0,00412	0,00486
p ′8	0,466	0,480	0,485	0,472	0,470	0,470	0,481
$\delta_4 = G' - Cd_8$	0,00410	0,00435	0,00455	0,00503	0,00466	_	
p ₄	0,508	0,529	0,528	0,515	0,512		
$\delta'_4 = Cd_7 - Cd_8$	0,00480	0,00506	0,00524	0,00585	0,00553	0,00536	0,00628
p ' ₄	0,595	0,615	0,608	0,599	0,608	0,611	0,621
$\delta_5 = Cd_8 - Cd_9$	0,00610	0,00642	0,00666	0,00752	0,00708	0,00682	0,00808
p_5			0,773		0,778	0,778	0,799
$\delta_6 = Cd_9 - Cd_{11}$	0,00430	0,00455	0,00468	0,00526	0,00498	0,00489	0,00575
p_6	l .	. 0,552			0,547	0,558	0,569
$\boldsymbol{\delta_7} = \boldsymbol{Cd_{11}} - \boldsymbol{Cd_{12}}$	0,00396	0,00414	0,00425	0.00474	0,00444	0,00447	0,00517
P 7	0,491	0,503	0,493	0,486	0,488	0,510	0,511

^{&#}x27;) $F=H_{\pmb{\beta}}$ nach Dr. Riedel. 2) $F=H_{\pmb{\beta}}$ und $G'=H_{\pmb{\gamma}}$ nach Dr. Riedel.

II. Dispersionsverlauf der Gläser.

Fabriknummer	2150 Bar Leicht-Fl.	2800 FernrFl.	1828 Bar Leicht-Fl.	665 Zink-Bor.	2546 ²) Bar.· Fl.	2512¹) Gew. SilFl.
D	1,57893	1,52231	1,56343	1,65762	1,62750	1,62073
$\Delta = C - F$	0,01078	0,01022	0,01134	0,01344	0,01618	0,01717
$v = \frac{n-1}{\Delta}$	54,08	51,11	49,69	48,93	38,78	36,15
$\delta_1 = C - D$	0,00325	0,00299	0,00329	0,00436	0,00465	0,00499
$p_1 = \frac{\delta_1}{A}$	0,302	0,293	0,290	0,324	0,287	0,291
$\delta_2 = D - F$	0,00753	0,00723	0,00805	0,00908	0,01153	0,01218
p_2	0,699	0,707	0,710	0,676	0,713	0,709
$\delta_3 = F - G'$	0,00622	0,00567	0,00616	0,00766		0,01028
p_3	0,577	0,555	0,543	0,570		0,599
$\delta'_3 = F - Cd_7$	0,00528	0 ,0 0482	0,00519	0,00622	0,00801	0,00871
p '3	0,490	0,472	0,458	0,463	0,495	0,507
$\delta_4 = G' - Cd_8$	0,00584	0,00554	0, 0 0611	0,00668		0, 01014
p_4	0,542	0,542	0,539	0,497		0,591
$\delta'_4 = Cd_7 - Cd_8$	0,00678	0,00639	0,00708	0,00821	0,01088	0,01171
p '4	0,629	0,625	0,624	0,611	0,672	0,682
$\delta_5 = Cd_8 - Cd_9$	0,00874	0,00822	0,00925	0,01042	0,01477	0,01600
p_5	0,811	0,804	0,816	0,775	0,913	0,932
$\delta_6 = Cd_9 - Cd_{11}$	0,00630	0,00607	0,00678	0,00746	0,01121	0,01227
Þ 6	0,584	0,594	0,598	0,555	0,893	0,715
$\delta_7 = Cd_{11} - Cd_{12}$	0,00566	0,00539	0,00615	0 ,00670	0,01064	0,01105
Þτ	0,525	0,527	0,542	0,499	0,658	0,644

¹⁾ $F = H_{\beta}$ nach Dr. Riedel.

²⁾ $F = H_{\beta}$ und $G' = H_{\gamma}$ nach Dr. Riedel.

III. Dispersionsverlauf des Quarzes.

	Quarz, kryst.:	Quarz, kryst.:	Quarz, kryst.:	
	ω¹).	ε^2).	$\frac{\omega + \varepsilon}{2}$	Quarz amorph.
	Ord. Strahl.	Ausserord. Str.	2	
\overline{D}	1,54419	1,55335	1,54877	1,45843
$\Delta = C - F$	0,00777	0,00802	0,00790	0,00677
$v = \frac{n-1}{\Delta}$	70,04	68,89	69,46	67,71
$\delta_1 = C - D$	0,00235	0,00240	0,00238	0,00203
$p_1 = \frac{\delta_1}{\Delta}$	0,302	0,299	0,301	0,300
$\delta_2 = D - F$	0,00542	0,00562	0,00552	0,00474
p_2	0,698	0,701	0,699	0,700
$\delta_3 = F - G'$	0,00432	0,00447	0,00440	0,00373
p_3	0,556	0,557	0,557	0,551
$\delta_3' = F - Cd_7$	0,00353	0,00373	0,00363	0,00313
p ′ ₃	0,454	0,465	0,460	0,462
$\delta_4 = G' - Cd_8$	0,00401	0,00411	0,00406	0,00338
p ₄	0,516	0,513	0,514	0,499
$\delta'_4 = Cd_7 - Cd_8$	0,00480	0,00485	0,00483	0,00398
p ′ ₄	0,618	0,605	0,611	0,588
$\delta_5 = Cd_8 - Cd_9$	0,00555	0,00564	0,00560	0,00475
P 5	0,714	0,703	0,709	0,702
$\delta_6 = Cd_9 - Cd_{11}$	0,00393	0,00422	0,00408	0,00374
p_6	0, 506	0,526	0,517	0,552
$\boldsymbol{\delta_7} = \boldsymbol{Cd_{11}} - \boldsymbol{Cd_{12}}$	0,00343	0,00356	0,00350	0,00306
p_7	0,441	0,444	0,443	0,452
$\boldsymbol{\delta_8} = \boldsymbol{Cd_{12}} - \boldsymbol{Cd_{17}}$	0,01674	0,01715	0,01695	0,01451
p_8	2,154	2,138	2,146	2,143
$\boldsymbol{\delta_9} = C\boldsymbol{d_{17}} - C\boldsymbol{d_{26}}$	0,04286	0,04456	0,04371	0,03752
Þ 9	5,519	5,556	5,533	5,542
$\delta_{10} = Cd_{26} - Al_{32}$	0,04458	0,04642	0,04550	0,03882
Þ 10	5,738	5,788	5,759	5,734

¹) C, D, F, G' nach Simon. Al_{32} nach Sarasin. ²) ε nach Mascart und Sarasin. $G'=H_{\gamma}$ und Cd_{8} durch Interpolation.

§ 9. Die Grenze der Absorption.

Da für die Bestimmung der Dispersion die Grenze der Absorption von Interesse ist, habe ich, wie oben erwähnt, gleichzeitig dieselbe bei meinen Photographieen zu erreichen gesucht durch Verlängerung der Belichtungsdauer um den 10 bis 50 fachen Betrag der gewöhnlichen, zur Erzeugung des Spektrums nötigen Zeit. Natürlich sind diese Beobachtungen nur als qualitativ zu bezeichnen, da über die Dicke der durchstrahlten Schicht keine Angabe vorliegt. Die Stelle, an welcher das Prisma während der Aufnahme von den Strahlen durchsetzt wird, ist wohl kaum genau zu bestimmen. Ausserdem haben die brechbaren Strahlen eine dickere Schicht zu durchsetzen.

Gewöhnlich werden diese Bestimmungen gesondert von der Dispersionsbestimmung mit dünnen Plan-Platten vorgenommen und durch Variation der Dicke der durchstrahlten Schicht von 0,1 mm bis 10 mm zahlengemäss fixiert 1). Trotzdem genügen meine Angaben zur Orientierung.

Ich habe die von mir untersuchten Gläser in zwei Gruppen geteilt. Die erste Gruppe ist bei normaler Belichtung nicht wesentlich über $Cd_{11}=340,37~\mu\mu$ durchlässig, die zweite etwas weiter als $Cd_{12}=328,36~\mu\mu$.

Die bei sehr langer Belichtung schliesslich noch erreichten Wellenlängen aller Gläser gebe ich in der Tabelle S. 36. Die Gläser sind nach den kürzesten Wellenlängen geordnet.

Wie gesagt haben diese Angaben nur orientierenden Wert. Eine Regel für die Grenze der Absorption lässt sich aus dem Vorstehenden nicht entnehmen. Nach dem Dispersionsverlauf scheint für hohe Brechungsexponenten und starke Dispersion im Ultraviolett die Absorption früher einzutreten. Eine Ausnahme hiervon bildet 2133, das trotz geringer Dispersion im Ultraviolett die früheste Absorption aufweist. Auch 2242 müsste der Dispersion nach durchlässiger sein.

¹) Eder u. Valenta. Absorptionsspektra der farblosen u. gefärbten Gläser. Wien 1894.

Tabelle der erreichten kleinsten Wellenlängen.

No.	Typus	λ	n der kleinsten Wellenlängen	Cd_{11} — Cd_{θ}	$Cd_{12}-Cd_{11}$
1	2133	328,36 μμ	1,62622	0,00526	0,00474
2	2546	328,36	1,69454	0,01121	0,01064
3	2512	326,42	1,69356	0,01227	0,01105
4	665	326,42	1,70562	0,00746	0,00670
5	1828	320,18	1,61189	0,00678	0,00615
6	2242	318,54	1,54079	0,00455	0,00414
7	2800	315,71	1,56675	0,00607	0,00539
8	2392	315,71	1,60475	0,00575	0,00517
9	2150	313,33	1,62678	0,00630	0,00566
10	2748	308,32	1,54839	0,00430	0,00396
11	2634	308,32	1,55875	0,00489	0,00447
12	2371	308,32	1,58293	0,00498	0,00444
13	2752	306,50	1,56714	0,00468	0,00425

Amorpher und krystallinischer Quarz sind nicht in diese Beobachtung hineingezogen, da ihre Absorptionsgrenzen erst unterhalb der Absorptionswirkung der empfindlichen Platten liegen. Einen Unterschied zwischen beiden habe ich in dem mir zugänglichen Bereich nicht finden können.

§ 10. Zusammenfassung der Resultate.

Die wesentlichen Ergebnisse der Arbeit sind folgende:

Von 13 Jenaer Glasschmelzen sind die Brechungsexponenten geliefert, von $C=656,30~\mu\mu$ bis an die Grenze der Absorption im Ultraviolett.

Das sichtbare Spektrum ist durch Autokollimation, das Ultraviolett photographisch gemessen.

Der Anschluss der photographisch gemessenen Linien ist durch Differenzenvergleichung erfolgt.

Die subjektiv gemessenen Linien sind durch häufige Wiederholung der Messungen sicher gestellt. Die Differenzenanschlüsse der photographisch ermittelten Werte zeigen volle Übereinstimmung innerhalb der Fehlergrenzen, so dass für sie gleiche Sicherheit beansprucht werden kann. Dem entspricht die Messung von Quarz, die mit den Werten von Simon und Sarasin gut übereinstimmt. Eine Berücksichtigung des Einflusses der Temperatur auf die Brechungsexponenten hat nicht stattgefunden 1).

Aus den Werten der Brechungsexponenten ist eine Charakteristik des Dispersionsverlaufes gegeben durch die von Abbe eingeführten Konstanten optischer Gläser.

Dieselben sind durch die partielle Dispersion geeigneter Intervalle für das Ultraviolett erweitert.

Der Dispersionsverlauf entspricht den bekannten Erfahrungen. Gläser mit hohen Brechungsexponenten zeigen im Allgemeinen eine hohe Dispersion. Jedoch lässt sich aus den Werten keine allgemeine Beziehung für das Verhältnis der einzelnen Teile des Spektrums zu einander aufstellen.

Bei allen Gläsern setzt die Absorption ziemlich früh ein. Keines der Gläser ist unter 300 $\mu\mu$ durchlässig. Die Grenze der Absorption ist qualitativ, d. h. ohne Angabe der durchstrahlten Dicke, bestimmt.

Brechung und Dispersion des amorphen und krystallinischen Quarzes weichen erheblich von einander ab. Der Brechungsexponent des amorphen Quarzes ist für die *D*-Linie nahe um o,1 kleiner als der des krystallinischen. Ebenso ist die Dispersion für die amorphe Modifikation durchgehends kleiner als die des krystallinischen Quarzes.

Zum Schluss sei es mir erlaubt meinen verehrten Lehrern, besonders Herrn Geheimen Hofrat Prof. Dr. Winkelmann und Herrn Prof. Dr. Straubel für ihre bereitwillige Unterstützung bei meiner Arbeit und vielseitigen Anregungen meinen herzlichen Dank auszusprechen.

¹⁾ Simon. Über Dispersion ultravioletter Strahlen. Inaug.-Diss. Berlin 1894.

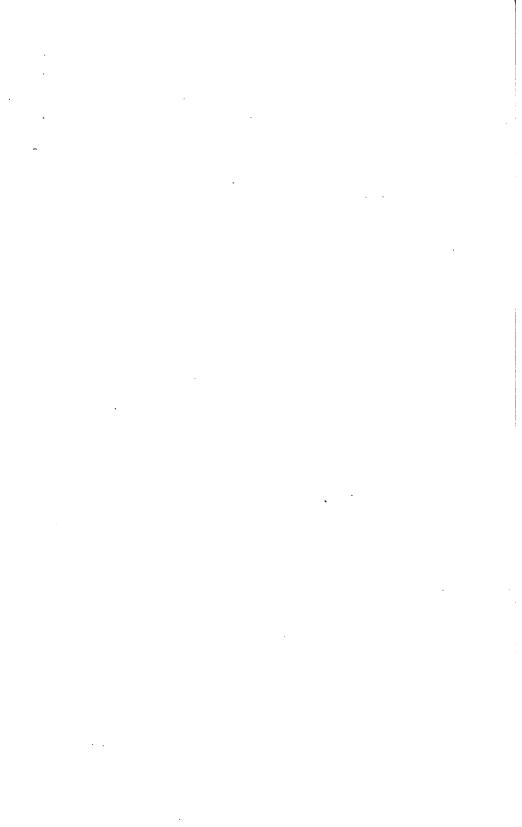
•



Lebensabriss.

Ich Johann Karl Hermann Trommsdorff bin als dritter Sohn des Pastor J. B. Trommsdorff zu Kühnhausen bei Erfurt am 22. Juli 1874 geboren. Meinen ersten Unterricht erhielt ich im elterlichen Hause. Von Michaeli 1885 bis Ostern 1894 besuchte ich das Gymnasium zu Eisleben, von Ostern 1894 bis Ostern 1896 die Klosterschule zu Ilfeld, von wo ich mit dem Reifezeugnis entlassen wurde. Zu Beginn meiner Studienzeit trat ich in Göttingen als Einjährig-Freiwilliger ein, wurde aber schon nach 6 Monaten als Ganz-Invalide eines Herzleidens wegen entlassen. In Göttingen studierte ich Physik, Chemie und Mathematik und Philosophie. Hier hörte ich die Vorlesungen der Herren Professoren Liebisch, Riecke, Voigt, Nernst, Wallach, Kerp, Abegg, v. Koenen, Peter, Klein, Hilbert, Schönfliess, Bohlmann, Sommerfeld, Baumann und Müller. Herbst 1899 siedelte ich nach der hiesigen Universität über, weil meine Eltern nach Jena verzogen. In Jena hörte ich die Vorlesungen der Herren Professoren Winkelmann, Straubel, Auerbach, Thomae, Frege, Gutzmer und Knopf.

.





UNIVERSITY OF CALIFORNIA LIBRARY, BERKELEY

THIS BOOK IS DUE ON THE LAST DATE STAMPED BELOW

Books not returned on time are subject to a fine of 50c per volume after the third day overdue, increasing to \$1.00 per volume after the sixth day. Books not in demand may be renewed if application is made before expiration of loan period.

MAY 8 1928





